

УДК 539.3

**АСИМПТОТИЧЕСКИЕ МЕТОДЫ ИССЛЕДОВАНИЯ
ЭЛЛИПТИЧЕСКОГО ПОГРАНСЛОЯ В ОБОЛОЧКАХ ВРАЩЕНИЯ
ПРИ УДАРНЫХ ТОРЦЕВЫХ ВОЗДЕЙСТВИЯХ НОРМАЛЬНОГО ТИПА**

© 2020 г. И. В. Кириллова^{а,*}, Л. Ю. Коссович^{а,**}

^а ФГБОУ ВО «СГУ имени Н.Г. Чернышевского», Саратов, Россия

*e-mail: nano-bio@info.sgu.ru

**e-mail: president@info.sgu.ru

Поступила в редакцию 12.03.2020 г.

После доработки 02.04.2020 г.

Принята к публикации 04.04.2020 г.

В данной работе строятся асимметрические уравнения эллиптического погранслоя в окрестности условного фронта поверхностных волн Рэлея, имеющего место в оболочках вращения при ударных торцевых воздействиях нормального типа. Техника асимптотического вывода этих уравнений, основанная на применении символического метода Лурье и введении специальных координат, выделяющих малую прифронтную зону, потребовала путем выделения частного решения свести исходную задачу к эквивалентной задаче для бесконечной оболочки. Рассматриваемый погранслоем дополняет полное описание рассматриваемого вида напряженно-деформированного состояния (НДС) во всех участках фазовой плоскости. Здесь используется также квазистатический погранслои типа Сен-Венана в малой окрестности торца, параболический погранслои по двумерной теории Кирхгофа–Лява, квазиплоская коротковолновая составляющая и гиперболический погранслои в малой окрестности фронта волны сдвига. В заключение работы рассмотрен пример построения эллиптического погранслоя при ударном воздействии на торец цилиндрической оболочки.

Ключевые слова: оболочка вращения, асимптотические методы, метод прифронтной асимптотики, ударные нагрузки, символический метод Лурье, волна Рэлея, погранслои

DOI: 10.31857/S0572329920050104

1. Введение. Асимптотические уравнения эллиптического погранслоя в оболочках вращения при ударных поверхностных воздействиях нормального типа построены в работе [1]. Эллиптический погранслои имеет место в окрестности условного фронта поверхностных волн Рэлея и дополняет полное описание рассматриваемого вида нестационарного НДС во всех участках фазовой плоскости с помощью изгибающей двумерной составляющей Кирхгофа–Лява, квазистатического погранслоя типа Сен-Венана, гиперболического погранслоя в окрестности фронта волны сдвига и квазиплоской высокочастотной коротковолновой составляющей. Указанная работа [1] вместе с представленной работой завершают исследования авторов в построении асимптотической теории нестационарных процессов в тонких оболочках вращения при всех трех видах торцевых воздействий, названных, по классификации У.К. Нигула [2], продольными воздействиями тангенциального типа, продольными воздействиями изгибающего типа и нормальными воздействиями.

Представленная работа развивает результаты [3], где впервые рассматриваются уравнения эллиптического погранслоя для оболочки вращения в случае торцевого

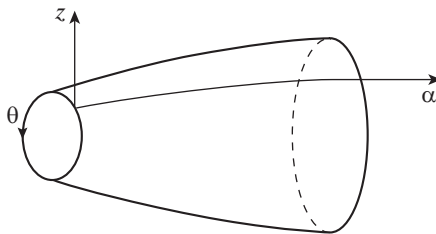


Рис. 1

ударного воздействия. Асимптотическим методом на основе символического метода Лурье строятся уравнения погранслоя в малой окрестности условного фронта поверхностных волн Рэлея. При этом построение основывается на предварительном выделении частного решения, удовлетворяющего только граничным условиям на торце оболочки. В качестве примера рассматривается распространение нестационарных волн касательного напряжения в цилиндрической оболочке.

2. Постановка задачи. Рассмотрим оболочку вращения, изображенную на рис. 1.

Обозначим через α длину дуги вдоль образующей срединной поверхности, через θ угол в окружном направлении и через z расстояние от срединной поверхности вдоль нормали. Через σ_{ij} и v_i ($i = 1, 2, 3$) обозначим напряжения и перемещения. Рассмотрим на торце $\alpha = 0$ граничные условия, определяющие осесимметричный вид НДС при ударном воздействии нормального вида [2]

$$\sigma_{13} = IH(t), \quad v_1 = 0 \quad \text{при} \quad \alpha = 0 \quad (2.1)$$

где h – полутолщина, t – время. Однородные граничные условия на лицевых поверхностях записываем в виде

$$\sigma_{33} = \sigma_{13} = 0 \quad \text{при} \quad z = \pm h \quad (2.2)$$

Рассмотрим также однородные начальные условия

$$v_i = \frac{\partial v_i}{\partial t} = 0 \quad (i = 1, 2, 3) \quad \text{при} \quad t = 0 \quad (2.3)$$

Введем безразмерные переменные

$$\xi = \frac{\alpha}{h}, \quad \zeta = \frac{z}{h}, \quad \tau = \frac{tc_2}{h} \quad (2.4)$$

где E, ν – модуль Юнга и коэффициент Пуассона материала оболочки, а c_2 – скорость волны сдвига в упругой среде: $c_2 = \sqrt{E/2(1+\nu)\rho}$, где ρ – плотность. Приведенный в [1] вывод исходных разрешающих уравнений основан на предположении о типе рассматриваемого НДС: оно является коротковолновым, представляется в виде наложения симметричной и антисимметричной по ζ составляющих, причем асимптотически главной составляющей является симметричная компонента. Окончательный вид разрешающих уравнений для этой составляющей приведен в [1].

Вывод асимптотически оптимальных уравнений искомого погранслоя основывается на использовании символического метода Лурье [4]. При этом целесообразно свести задачу об ударном воздействии на торец полубесконечной оболочки вращения к эквивалентной задаче об ударном воздействии на лицевые поверхности бесконечной оболочки вращения путем выделения частного решения, удовлетворяющего только торцевым граничным условиям.

3. Частное решение и эквивалентная задача. В рассматриваемом случае уравнений для оболочки вращения с переменными коэффициентами искомое частное решение, удовлетворяющее торцевым граничным условиям, может быть получено приближенно методом прифронтной асимптотики. Согласно простейшему варианту метода прифронтной асимптотики искомое решение представляется в виде разложения по степеням отклонения продольной координаты от фронта волны сдвига:

$$\sigma_1^{(0)} = 0, \quad v_3^{(0)} = -I^* \sum_{n=1}^{\infty} F_n(\xi_0) (\tau_0 - \xi_0)^n H(\tau_0 - \xi_0) \quad (3.1)$$

где $F_n(\xi_0)$ – неизвестные функции, I^* – некоторая постоянная, $\xi_0 = \alpha/R$, $\tau_0 = tc_2/R$, R – характерное значение радиусов кривизны оболочки.

Подставляя (3.1) в разрешающие уравнения, представленные в [1], получим, приравнявая нулю члены при одинаковых степенях $(\tau_0 - \xi_0)^n$, зацепляющую систему уравнений для неизвестных функций F_n :

$$2 \frac{dF_n}{d\xi_0} + \frac{B'}{B} F_n = \frac{1}{n} \left(\frac{d^2 F_{n-1}}{d\xi_0^2} + \frac{B'}{B} \frac{dF_{n-1}}{d\xi_0} \right) \quad (3.2)$$

где B – безразмерное расстояние до оси вращения ($B = B^*/R$), B^* – расстояние до оси вращения.

Частное решение (3.2) с учетом граничных условий (2.1) дает следующие выражения для перемещений и напряжений [3]

$$v_1^{(0)} = 0, \quad v_3^{(0)} = -I \left[\sqrt{\frac{B(0)}{B}} (\tau_0 - \xi_0) + \sum_{n=2}^{\infty} F_n(\xi_0) (\tau_0 - \xi_0)^n \right] H(\tau_0 - \xi_0)$$

$$\sigma_{11}^{(0)} = \sigma_{33}^{(0)} = 0, \quad \sigma_{13}^{(0)} = I \left[\sqrt{\frac{B(0)}{B}} + \sum_{n=2}^{\infty} (nF_n(\xi_0) - F'_{n-1}(\xi_0)) (\tau_0 - \xi_0)^{n-1} \right] H(\tau_0 - \xi_0) \quad (3.3)$$

$$F_n = -\frac{1}{2n\sqrt{B}} \int_0^{\xi_0} \frac{1}{\sqrt{B}} \frac{d}{d\xi_0} \left(\frac{1}{B} \frac{dF_{n-1}}{d\xi_0} \right) d\xi_0, \quad n \geq 2, \quad I^* = \frac{2(1+\nu)hI}{E}$$

Представим решение исходной задачи в виде суммы

$$\text{НДС} = \text{НДС}^{(0)} + \text{НДС}^{(1)} \quad (3.4)$$

где для составляющей с верхним индексом (1) (эквивалентная задача) ставятся следующие граничные условия

$$\frac{\partial v_3^{(1)}}{\partial \xi} = 0, \quad v_1^{(1)} = 0, \quad \xi = 0 \quad (3.5)$$

$$\sigma_{33}^{(1)} = 0, \quad \sigma_{13}^{(1)} = -I \left[\sqrt{\frac{B(0)}{B}} + \sum_{n=2}^{\infty} (nF_n - F'_{n-1}) (\tau_0 - \xi_0)^{n-1} \right] H(\tau_0 - \xi_0), \quad \zeta = \pm 1 \quad (3.6)$$

Анализ показывает, что для решения (3.3) деформированное торцевое сечение прямолинейно и перпендикулярно к оси ξ . Значит, составляющая с верхним индексом “1” обладает такими же свойствами. Следовательно, бесконечная оболочка вращения с симметричным относительно ζ нагружением на лицевые поверхности, определенными граничными условиями (3.5), (3.6) имеет НДС, соответствующее НДС исходной полубесконечной оболочки, и задача для нее эквивалентна исходной задаче для полубесконечной оболочки.

4. Уравнения эллиптического погранслоя. Рассматриваемые уравнения строятся асимптотическим методом подобно случаю ударной нагрузки на лицевые поверхно-

сти оболочки [1]. Опишем кратко этот подход, подробно представленный в [1] для случая нормальной нагрузки на лицевые поверхности, применяемый в рассматриваемом случае для нагрузки по касательной к лицевым поверхностям. Новым здесь является и характер нагрузки, распространяющейся вдоль продольной координаты со скоростью волны сдвига.

Основой предложенного асимптотического подхода является использование символического метода Лурье: вводятся операторы $\partial_\xi = \partial/\partial\xi$, $\partial_\tau = \partial/\partial\tau$ и разрешающие уравнения рассматриваются как обыкновенные дифференциальные уравнения с аргументом ζ , при этом принимается, что операторы ∂_ξ и ∂_τ являются алгебраическими величинами порядка единицы. Вводится также малый параметр $\eta = h/R$. Последним принципиальным шагом рассматриваемого подхода является выделение малой окрестности условного фронта поверхностных волн Рэлея путем перехода к координатам $y = (\xi - \varkappa_R \tau)/\varepsilon$ и $\tau_0 = \varepsilon\tau$, $\varepsilon = 1/T$ (рассматриваются моменты времени, когда условный фронт прошел расстояние, много большее толщины оболочки).

В результате для потенциальных функций φ и ψ , определяющих движение волн от поверхности $2z = -h$ вглубь оболочки, получены следующие уравнения эллиптического типа:

$$\begin{aligned} \left(1 - \frac{c_R^2}{c_1^2}\right) \frac{\partial^2 \varphi}{\partial \alpha^2} + \frac{\partial^2 \varphi}{\partial z^2} &= 0 \\ \left(1 - \frac{c_R^2}{c_2^2}\right) \frac{\partial^2 \psi}{\partial \alpha^2} + \frac{\partial^2 \psi}{\partial z^2} &= 0 \end{aligned} \quad (4.1)$$

Перемещения и напряжения выражаются при $\xi > 0$ через эти потенциальные функции следующим образом:

$$\begin{aligned} v_1 &= h \left(\frac{\partial \varphi}{\partial \alpha} + b \frac{\partial \psi}{\partial \alpha} \right), \quad v_3 = h \left(\frac{\partial \varphi}{\partial z} + \frac{1}{b} \frac{\partial \psi}{\partial z} \right) \\ \sigma_{33} &= -\frac{Eh}{1+\nu} \left(g \frac{\partial^2 \varphi}{\partial \alpha^2} + b \frac{\partial^2 \psi}{\partial \alpha^2} \right) \end{aligned} \quad (4.2)$$

$$\sigma_{13} = \frac{Eh}{1+\nu} \left(\frac{1}{a^2} \frac{\partial^2 \varphi}{\partial \alpha \partial z} + \frac{\varkappa^2 \varkappa_R^2}{a^2 c_R^2} \frac{\partial^2 \varphi}{\partial z \partial t} + \frac{1}{2a^2} \frac{B'}{B} \frac{\partial \varphi}{\partial z} + \frac{g + \varkappa^2}{b} \frac{\partial^2 \psi}{\partial \alpha \partial z} + \frac{\varkappa^2}{bc_R} \frac{\partial^2 \psi}{\partial z \partial t} + \frac{1}{b} \frac{B'}{B} \frac{\partial \psi}{\partial z} \right)$$

где $a = \sqrt{1 - \varkappa^2 \varkappa_R^2}$, $b = \sqrt{1 - \varkappa_R^2}$, $\varkappa^2 = (1 - 2\nu)/(2 - 2\nu)$, $g = 2 + \varkappa_R B_\omega$
 $B_\omega = 2 \left(\frac{\varkappa_R}{1 - \varkappa_R^2} + \frac{\varkappa \varkappa_R}{1 - \varkappa^2 \varkappa_R^2} - \frac{4\varkappa_R}{2 - \varkappa_R^2} \right)^{-1}$, $\varkappa_R = c_R/c_2$, c_R – скорость поверхностных волн Рэлея.

Граничные условия на лицевой поверхности $\zeta = -1$ при $\xi > 0$ записываются в форме

$$\begin{aligned} \frac{\partial^2 \psi}{\partial \alpha^2} - \frac{1}{c_R^2} \frac{\partial^2 \psi}{\partial t^2} + \frac{k_c}{\varkappa_R^2} \frac{B'}{B} \frac{\partial \psi}{\partial \alpha} &= \frac{B_\omega}{g \varkappa_R} \frac{\partial S}{\partial \alpha} \\ \left(g + \frac{\varkappa^2}{2} \right) \frac{\partial^2 \varphi}{\partial \alpha^2} - \frac{\varkappa^2}{2c_R^2} \frac{\partial^2 \varphi}{\partial t^2} + \frac{B'}{B} \frac{\partial \varphi}{\partial \alpha} + \left(b + \frac{\varkappa^2}{2b} \right) \frac{\partial^2 \psi}{\partial \alpha^2} - \frac{\varkappa^2}{2bc_R^2} \frac{\partial^2 \psi}{\partial t^2} + \left(b + \frac{1}{2b} \right) \frac{B'}{B} \frac{\partial \psi}{\partial \alpha} &= 0 \\ k_c &= \left(\frac{1}{a^2} + \frac{1}{b^2} + 1 - \frac{4}{g} \right) / \left(\frac{\varkappa^2}{a^2} + \frac{1}{b^2} - \frac{2}{g} \right) \end{aligned} \quad (4.3)$$

$$\Psi = \frac{h \partial \Psi}{b \partial z}, \quad S = I \left[\sqrt{\frac{B(0)}{B}} + \sum_{n=2}^{\infty} (nF_n - F'_{n-1})(\tau_0 - \xi_0)^{n-1} \right] H(\tau_0 - \xi_0)$$

Аналогично записываются уравнения и для области $\xi < 0$. Однако, выражение для напряжения σ_{13} в (4.2) не всегда является удобным. В частности, его сложно использовать при использовании преобразования Фурье по продольной координате. Поэтому найдена альтернативная форма:

$$\frac{\partial \sigma_{13}}{\partial \alpha} = \frac{E}{(1+\nu)h} \left(\frac{2 - \alpha^2 \alpha_R^2}{2a} \frac{\partial^2 \Phi}{\partial \alpha^2} - \frac{\alpha^2 \alpha_R^2}{2a} \frac{1}{c_R^2} \frac{\partial^2 \Phi}{\partial t^2} + \frac{1}{2a} \frac{B'}{B} \frac{\partial \Phi}{\partial \alpha} + \frac{\partial^2 \Psi}{\partial \alpha^2} - \frac{\alpha_R^2}{2} \frac{1}{c_R^2} \frac{\partial^2 \Psi}{\partial t^2} + \frac{B'}{B} \frac{\partial \Psi}{\partial \alpha} \right) \quad (4.4)$$

$$\Phi = \frac{h \partial \Phi}{a \partial z}$$

5. Решение задачи для цилиндрической оболочки. Рассмотрим задачу о распространении нестационарных волн в цилиндрической оболочке при граничных условиях (2.1). Получим решение для эквивалентной задачи. Рассматриваем только волну, инициируемую лицевой поверхностью $z = -h$. Разрешающие уравнения для потенциальных функций ϕ, ψ сохраняют вид (4.1), а граничные условия и выражения для напряжений и перемещений запишутся для всех значений ξ ($-\infty < \xi < \infty$) в форме

$$\alpha_R^2 \frac{\partial^2 \Psi}{\partial \xi^2} - \frac{\partial^2 \Psi}{\partial \tau^2} = \frac{\alpha_R B_\omega}{g} \frac{\partial S}{\partial \xi} \quad \text{при } \varsigma = -1 \quad (5.1)$$

$$\left(g + \frac{\alpha_R^2}{2} \right) \frac{\partial^2 \Phi}{\partial \xi^2} - \frac{1}{2} \frac{\partial^2 \Phi}{\partial \tau^2} + \left(b + \frac{\alpha_R^2}{2b} \right) \frac{\partial^2 \Psi}{\partial \xi^2} - \frac{1}{2b} \frac{\partial^2 \Psi}{\partial \tau^2} = 0 \quad \text{при } \varsigma = -1$$

$$v_1 = \frac{\partial \Phi}{\partial \xi} + b \frac{\partial \Psi}{\partial \xi}, \quad v_3 = \frac{\partial \Phi}{\partial \varsigma} + \frac{1}{b} \frac{\partial \Psi}{\partial \varsigma}$$

$$\sigma_{33} = -\frac{E}{(1+\nu)h} \left(g \frac{\partial^2 \Phi}{\partial \xi^2} + b \frac{\partial^2 \Psi}{\partial \xi^2} \right) \quad (5.2)$$

$$\frac{\partial \sigma_{13}}{\partial \xi} = \frac{E}{(1+\nu)h} \left(\frac{2 - \alpha^2 \alpha_R^2}{2a} \frac{\partial^2 \Phi}{\partial \xi^2} - \frac{\alpha^2}{2a} \frac{\partial^2 \Phi}{\partial \tau^2} + \frac{\partial^2 \Psi}{\partial \xi^2} - \frac{1}{2} \frac{\partial^2 \Psi}{\partial \tau^2} \right)$$

$$\Phi = \frac{1}{a} \frac{\partial \Phi}{\partial \varsigma}, \quad \Psi = \frac{1}{b} \frac{\partial \Psi}{\partial \varsigma}$$

При этом функция S записывается в виде

$$S = IH(\tau - \xi) \quad \text{при } \xi > 0 \quad \text{и} \quad S = IH(\tau + \xi) \quad \text{при } \xi < 0 \quad (5.3)$$

Для решения рассматриваемой задачи применим преобразование Лапласа по времени τ и преобразование Фурье по продольной координате ξ . Тогда граничные условия (5.1) и выражение для изображения касательного напряжения σ_{13} примут вид:

$$(\alpha_R^2 \chi^2 + s^2) \Psi^{LF} = -\sqrt{\frac{2}{\pi}} \frac{\alpha_R B_\omega}{g} \frac{\chi^2}{s(s^2 + \chi^2)} \quad \text{при } \varsigma = -1 \quad (5.4)$$

$$\left[\left(g + \frac{\alpha_R^2}{2} \right) \chi^2 + \frac{1}{2} s^2 \right] \Phi^{LF} + \left[\left(b + \frac{\alpha_R^2}{2b} \right) \chi^2 + \frac{1}{2b} s^2 \right] \Psi^{LF} \quad \text{при } \varsigma = -1$$

$$\sigma_{13}^{LF} = i \frac{E}{(1+\nu)h\chi} \left[\left(\frac{2 - \alpha^2 \alpha_R^2}{2a} \chi^2 + \frac{\alpha^2}{2a} s^2 \right) \Phi^{LF} + \left(\chi^2 + \frac{1}{2} s^2 \right) \Psi^{LF} \right] \quad (5.5)$$

где верхние индексы L и F обозначают интегральные преобразования Лапласа и Фурье, соответственно.

Решая систему дифференциальных уравнений по ς с граничными условиями (5.4), выпишем решение для изображения напряжения σ_{13} :

$$\sigma_{13}^{LF} = -i\sqrt{\frac{2}{\pi}} \frac{\varkappa_R B_\omega}{g} \left[\left(g \frac{\chi^3}{s(\varkappa_R^2 \chi^2 + s^2)(s^2 + \chi^2)} + \left(\frac{\varkappa^2 g}{2a^2} + \frac{g}{2b^2} - \frac{1}{2} \right) \frac{\chi}{s(s^2 + \chi^2)} \right) e^{\mp a\chi(1+\varsigma)} - \left(g \frac{\chi^3}{S(\varkappa_R^2 \chi^2 + s^2)(s^2 + \chi^2)} + \frac{1}{2} \frac{\chi}{s(s^2 + \chi^2)} \right) e^{\mp b\chi(1+\varsigma)} \right] \quad (5.6)$$

где знаки \mp относятся к областям $\xi > 0$ и $\xi < 0$, соответственно.

Обратим полученное изображение (5.6). Найдем сначала оригинал для преобразования Лапласа. Основываясь на следующем типовом преобразовании “изображение по Лапласу \Rightarrow оригинал”:

$$\frac{\chi}{s(\varkappa_R^2 \chi^2 + s^2)} \Rightarrow \frac{1}{\varkappa_R^2} (1 - \cos \varkappa_R \tau \chi) \quad (5.7)$$

получаем формулу для одинарного преобразования искомого решения по Фурье:

$$\sigma_{13}^F = -i\sqrt{\frac{2}{\pi}} \frac{\varkappa_R B_\omega}{g} \left[\left(\frac{g}{b^2 \varkappa_R^2} \frac{1}{\chi} (1 - \cos \varkappa_R \tau \chi) + \left(\frac{\varkappa^2 g}{2a^2} - \frac{g}{2b^2} - \frac{1}{2} \right) \frac{1}{\chi} (1 - \cos \tau \chi) \right) e^{\mp a\chi(1+\varsigma)} - \left(\frac{g}{b^2 \varkappa_R^2} \frac{1}{\chi} (1 - \cos \varkappa_R \tau \chi) + \left(-\frac{g}{b^2} + \frac{1}{2} \right) \frac{1}{\chi} (1 - \cos \tau \chi) \right) e^{\mp b\chi(1+\varsigma)} \right] \quad (5.8)$$

Найдем теперь оригинал для преобразования Фурье. Основываясь на следующем типовом интеграле

$$\int_0^1 \frac{1 - \cos \tau \chi}{\chi} e^{-a\chi} \sin \xi \chi d\chi = \arctan \left(\frac{\xi}{a} \right) - \frac{1}{2} \arctan \left(\frac{2\xi a}{a^2 - \xi^2 + \tau^2} \right) \quad (5.9)$$

получаем искомое выражение для напряжения σ_{13} :

$$\begin{aligned} \sigma_{13} = & \frac{2}{\pi} I \frac{\varkappa_R B_\omega}{g} \left[\left(\frac{g}{b^2 \varkappa_R^2} + \frac{\varkappa^2 g}{2a^2} - \frac{g}{2b^2} - \frac{1}{2} \right) \operatorname{arctg} \left(\frac{\xi}{a(1+\varsigma)} \right) + \right. \\ & \left. + \left(-\frac{g}{b^2 \varkappa_R^2} + \frac{g}{b^2} - \frac{1}{2} \right) \operatorname{arctg} \left(\frac{\xi}{b(1+\varsigma)} \right) - \right. \\ & \left. - \frac{g}{2b^2 \varkappa_R^2} \operatorname{arctg} \left(\frac{2a\xi(1+\varsigma)}{a^2(1+\varsigma)^2 - \xi^2 + \varkappa_R^2 \tau^2} \right) - \right. \\ & \left. - \frac{1}{2} \left(\frac{\varkappa^2 g}{2a^2} - \frac{g}{2b^2} - \frac{1}{2} \right) \operatorname{arctg} \left(\frac{2a\xi(1+\varsigma)}{a^2(1+\varsigma)^2 - \xi^2 + \tau^2} \right) + \right. \\ & \left. + \frac{g}{2b^2 \varkappa_R^2} \operatorname{arctg} \left(\frac{2b\xi(1+\varsigma)}{b^2(1+\varsigma)^2 - \xi^2 + \varkappa_R^2 \tau^2} \right) + \right. \\ & \left. + \frac{1}{2} \left(-\frac{g}{b^2} + \frac{1}{2} \right) \operatorname{arctg} \left(\frac{2b\xi(1+\varsigma)}{b^2(1+\varsigma)^2 - \xi^2 + \tau^2} \right) \right] \quad (5.10) \end{aligned}$$

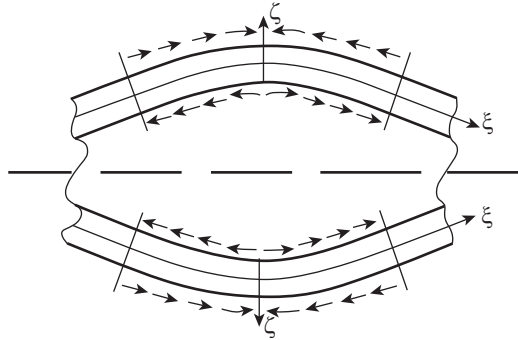


Рис. 2.

Учитывая, что при $\xi \gg 1, \tau \gg 1$ и в рассматриваемой малой окрестности условного фронта $\xi = \varkappa_R \tau$ можно принять следующие оценки функций в (5.10):

$$\begin{aligned} \operatorname{arctg}\left(\frac{\xi}{a(1+\zeta)}\right) &= \frac{\pi}{2}, & \operatorname{arctg}\left(\frac{\xi}{a(1+\zeta)}\right) &= \frac{\pi}{2} \\ \operatorname{arctg}\left(\frac{2a\xi(1+\zeta)}{a^2(1+\zeta)^2 + \xi^2 + \tau^2}\right) &= 0, & \operatorname{arctg}\left(\frac{2b\xi(1+\zeta)}{b^2(1+\zeta)^2 - \xi^2 + \tau^2}\right) &= 0 \end{aligned} \quad (5.11)$$

окончательное выражение для напряжения σ_{13} запишем в виде

$$\begin{aligned} \sigma_{13} = I + I \frac{B_\omega}{\pi \varkappa_R b^2} &\left[-\operatorname{arctg}\left(\frac{2a\xi(1+\zeta)}{a^2(1+\zeta)^2 - \xi^2 + \varkappa_R^2 \tau^2}\right) + \right. \\ &\left. + \operatorname{arctg}\left(\frac{2b\xi(1+\zeta)}{b^2(1+\zeta)^2 - \xi^2 + \varkappa_R^2 \tau^2}\right) \right] \end{aligned} \quad (5.12)$$

СПИСОК ЛИТЕРАТУРЫ

1. Кириллова И.В., Коссович Л.Ю. Уточненные уравнения эллиптического погранслоя в оболочках вращения при ударных поверхностных воздействиях нормального типа // Вестник С.-Петерб. ун-та. Математика. Механика. Астрономия. 2017. Вып. 1. С. 113–120.
2. Nigul U. Regions of effective application of the methods of three-dimensional and two-dimensional analysis of transient stress waves in shells and plates // Int. J. Solid and Structures. V. 5. № 6. 1969. P. 607–627.
3. Коссович Л.Ю., Кириллова И.В. Теория эллиптического погранслоя в оболочках вращения при ударных воздействиях нормального типа // XII Всероссийский съезд по фундаментальным проблемам теоретической и прикладной механики: сборник трудов в 4 томах. Т. 3: Механика деформируемого твердого тела. Уфа: РИЦ БашГУ. 2019. Т. 3. С. 484–486.
4. Лурье А.И. Пространственные задачи теории упругости. М.: Гостехиздат, 1955. 491 с.